

Ю. О. Тітов, Н. М. Білявина, В. Я. Марків,  
член-кореспондент НАН України М. С. Слободяник,  
В. В. Полубінський

## Нові сполуки $\text{Sr}_2\text{LnB}^{\text{III}}\text{SnO}_7$ ( $\text{B}^{\text{III}} - \text{Sc}, \text{In}$ ) з двошаровою перовськітоподібною структурою

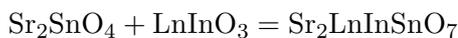
*Визначені границі областей із шаруватою перовськітоподібною структурою (ШПС) в рядах сполук типу  $\text{Sr}_2\text{LnB}^{\text{III}}\text{SnO}_7$  ( $\text{B}^{\text{III}} - \text{Sc}, \text{In}$ ). Твердофазним синтезом із еквімолярних сумішей  $\text{Sr}_3\text{Sn}_2\text{O}_7 + \text{SrLn}_2\text{Sc}_2\text{O}_7$  і  $\text{Sr}_2\text{SnO}_4 + \text{LnInO}_3$  синтезовані нові скандатостанати  $\text{Sr}_2\text{LnScSnO}_7$  ( $\text{Ln} - \text{La}, \text{Pr}$ ), індатостанати  $\text{Sr}_2\text{LaInSnO}_7$  ( $\text{Ln} - \text{La}, \text{Pr}$ ) та методом Рітвельда визначена їх кристалічна ШПС. Встановлена належність ШПС  $\text{Sr}_2\text{LaScSnO}_7$  до структурного типу  $\text{SrLn}_2\text{Sc}_2\text{O}_7$  (пр. гр.  $Fm\bar{3}m$ ), а ШПС  $\text{Sr}_2\text{PrScSnO}_7$  і  $\text{Sr}_2\text{LnInSnO}_7$  до структурного типу  $\text{BaLa}_2\text{In}_2\text{O}_7$  (пр. гр.  $P4_2/mnm$ ). Проаналізовані особливості будови ШПС синтезованих  $\text{Sr}_2\text{LnB}^{\text{III}}\text{SnO}_7$  ( $\text{B}^{\text{III}} - \text{Sc}, \text{In}$ ).*

Наявність ряду цінних властивостей (зокрема, надпровідності, значного магнітоопору, сегнетоелектричних властивостей, каталітичної активності) [1, 2] у сполук Руддлессена–Поппера типу  $\text{A}_{n+1}\text{B}_n\text{O}_{3n+1}$  із шаруватою перовськітоподібною структурою (ШПС) обумовлює актуальність задачі синтезу нових представників цього сімейства.

До числа основних чинників впливу на властивості сполук типу  $\text{A}_{n+1}\text{B}_n\text{O}_{3n+1}$  відносяться будова їх ШПС (зокрема, характер і величина ступеня деформації октаєдрів  $\text{BO}_6$  і полієдрів  $\text{AO}_9$  й  $\text{AO}_{12}$ ), а також характер хімічного зв'язку, визначений електронною будовою атомів А- й В-типів. Одним із найбільш перспективних шляхів покращення властивостей сполук типу  $\text{A}_{n+1}\text{B}_n\text{O}_{3n+1}$  є введення в еквівалентні позиції ШПС різнорозмірних атомів як  $d$ -, так і  $p$ -елементів. На відміну від великої кількості відомих двошарових сполук Руддлессена – Поппера, в А-позиції ШПС яких одночасно знаходяться різнотипні атоми, число відомих сполук складу  $\text{A}_3(\text{B}, \text{B}^{\text{I}})_2\text{O}_7$  із двошаровою ШПС досить обмежене [3–6].

Мета роботи – дослідження можливості утворення і синтезу нових двошарових сполук  $\text{Sr}_2\text{LnB}^{\text{III}}\text{SnO}_7$  ( $\text{B}^{\text{III}} - \text{Sc}, \text{In}$ ) та визначення і аналіз будови їх ШПС.

Синтез полікристалічних зразків загального складу  $\text{Sr}_2\text{LnB}^{\text{III}}\text{SnO}_7$  ( $\text{B}^{\text{III}} - \text{Sc}, \text{In}$ ) проводився за керамічною технологією (послідовна термообробка при 1570 К ( $\tau = 3 + 3$  год) з проміжними перешихтовками) із використанням прекурсорів  $\text{Sr}_2\text{SnO}_4$ ,  $\text{LnInO}_3$ ,  $\text{Sr}_3\text{Sn}_2\text{O}_7$  і  $\text{SrLn}_2\text{Sc}_2\text{O}_7$  шляхом “дорощування” другого шару октаєдрів  $\text{InO}_6$  у одношаровому перовськітоподібному блоці станату  $\text{Sr}_2\text{SnO}_4$  перовськітом  $\text{LnInO}_3$ :



або через взаємодію двошарових перовськітів  $\text{Sr}_3\text{Sn}_2\text{O}_7$  й  $\text{SrLn}_2\text{Sc}_2\text{O}_7$ :



Одно- й двошарові станати  $\text{Sr}_2\text{SnO}_4$  й  $\text{Sr}_3\text{Sn}_2\text{O}_7$  синтезовано термообробкою спільноосаджених гідроксикарбонатів [7], перовськіти  $\text{LnInO}_3$  термообробкою спільноосаджених гідроксидів, а двошарові скандати  $\text{SrLn}_2\text{Sc}_2\text{O}_7$  – термообробкою спільнозакристалізованих нітратів [8].

Рентгенівські дифракційні спектри полікристалічних зразків записано на дифрактометрі ДРОН — 3 у дискретному режимі (крок сканування  $0,03^\circ$ , експозиція в точці 5 с) на мідному фільтрованому випромінюванні. Управління процесом зйомки і збором інформації, початкова обробка дифрактограм, а також структурні розрахунки проведено з використанням апаратно-програмного комплексу [9].

Рентгенофазовий аналіз термооброблених зразків валового складу  $\text{Sr}_2\text{LnB}^{\text{III}}\text{SnO}_7$  ( $\text{B}^{\text{III}} - \text{Sc}, \text{In}$ ) показав утворення нових скандатостанатів  $\text{Sr}_2\text{LnScSnO}_7$  та індатостанатів  $\text{Sr}_2\text{LnInSnO}_7$  з  $\text{Ln} - \text{La}, \text{Pr}$ . Дифрактограми цих сполук подібні до дифрактограм відомих двошарових сполук  $\text{SrLn}_2\text{Sc}_2\text{O}_7$  й  $\text{BaLn}_2\text{In}_2\text{O}_7$ .

Дифракторами зразків очікуваних сполук складу  $\text{Sr}_2\text{LnB}^{\text{III}}\text{SnO}_7$  ( $\text{Ln} - \text{Nd}, \text{Sm}, \text{Eu}; \text{B}^{\text{III}} - \text{Sc}, \text{In}$ ) відрізняються від решти тим, що на них зафіксовано значне підвищення інтенсивностей відбиттів, притаманних структурі перовськіту, що може бути зумовлено наявністю в цих зразках фази зі структурою перовськіту на основі  $\text{SrSnO}_3$  або  $\text{LnB}^{\text{III}}\text{O}_3$ .

Дифрактограма скандатостанату лантану  $\text{Sr}_2\text{LaScSnO}_7$  проіндексована в ромбічній сингонії, а систематика погасань відбиттів відповідає можливим просторовим групам: центросиметричній  $\text{Fm}\bar{3}\text{m}$  та нецентросиметричним  $\text{Fmm}2$  і  $\text{F}222$ . Індукування дифрактограм  $\text{Sr}_2\text{PrScSnO}_7$  і  $\text{Sr}_2\text{LnInSnO}_7$  ( $\text{Ln} - \text{La}, \text{Pr}$ ) показало належність їх ШПС до таких можливих тетрагональних просторових груп: центросиметричної  $\text{P}4_2/\text{mnm}$  або нецентросиметричних  $\text{P}\bar{4}\text{n}2$  й  $\text{P}4_2\text{nm}$ .

Тест на генерацію сигналу другої гармоніки лазерного випромінювання ІАГ : Nd — лазера продемонстрував, що відносна інтенсивність сигналу  $I_{2\omega}$  для  $\text{Sr}_2\text{LnB}^{\text{III}}\text{SnO}_7$  ( $\text{Ln} - \text{La}, \text{Pr}; \text{B}^{\text{III}} - \text{Sc}, \text{In}$ ) не перевищує  $0,01 I_{2\omega}$  для нецентросиметричної сполуки  $\text{La}_4\text{Ti}_4\text{O}_{14}$  із ШПС, що дає підстави для висновку про належність їх ШПС до центросиметричних просторових груп:  $\text{Fm}\bar{3}\text{m}$  для  $\text{Sr}_2\text{LaScSnO}_7$  та  $\text{P}4_2/\text{mnm}$  для  $\text{Sr}_2\text{PrScSnO}_7$  й  $\text{Sr}_2\text{LnInSnO}_7$  ( $\text{Ln} - \text{La}, \text{Pr}$ ).

Початкову модель структури  $\text{Sr}_2\text{LaScSnO}_7$  побудовано з використанням координатних параметрів атомів  $\text{SrLn}_2\text{Sc}_2\text{O}_7$  із двошаровою ШПС [8] (пр. гр.  $\text{Fm}\bar{3}\text{m}$ ). Первинну оцінку координат атомів для початкових моделей структури  $\text{Sr}_2\text{PrScSnO}_7$  й  $\text{Sr}_2\text{LnInSnO}_7$  ( $\text{Ln} - \text{La}, \text{Pr}$ ) проведено за відомими структурними даними для  $\text{BaLa}_2\text{In}_2\text{O}_7$  (пр. гр.  $\text{P}4_2/\text{mnm}$ ) [10].

Зіставлення експериментальних і розрахованих для цих моделей структури інтенсивностей показало їх задовільну збіжність. Результати уточнення початкових моделей структур  $\text{Sr}_2\text{LnB}^{\text{III}}\text{SnO}_7$  ( $\text{Ln} - \text{La}, \text{Pr}; \text{B}^{\text{III}} - \text{Sc}, \text{In}$ ) представлені в табл. 1, 2 та на рис. 1, 2. Уточнені

Таблиця 1. Кристалографічні дані структури  $\text{Sr}_2\text{LaScSnO}_7$

Позиція	Атом	$\text{Sr}_2\text{LaScSnO}_7$		
		X	Y	Z
4b	(0, 667Sr + 0, 333Ln)(1)	0	0	0,5
8i	(0, 667Sr + 0, 333Ln)(2)	0	0	0,3137(3)
8i	(0, 5B <sup>III</sup> + 0, 5Sn)	0	0	0,0991(2)
4a	O(1)	0	0	0
8i	O(2)	0	0	0,202(2)
16j	O(3)	0,25	0,25	0,107(2)
Просторова група		$\text{Fm}\bar{3}\text{m}$		
Періоди кристалічної ґратки, нм		$a = 0,5775(2), b = 0,5751(2), c = 2,0618(7)$		
Фактор недостовірності		$R_B = 0,061$		
Незалежні відбиття		135		
Загальний ізотропний В-фактор, нм <sup>2</sup>		$0,79(3) \cdot 10^{-2}$		

Таблиця 2. Кристалографічні дані структур  $\text{Sr}_2\text{LnInSnO}_7$  (Ln–La, Pr) і  $\text{Sr}_2\text{PrScSnO}_7$ 

Позиція	Атом	$\text{Sr}_2\text{LaInSnO}_7$			$\text{Sr}_2\text{PrInSnO}_7$			$\text{Sr}_2\text{PrScSnO}_7$		
		X	Y	Z	X	Y	Z	X	Y	Z
4f	(0,667Sr + 0,333Ln)(1)	0,2417(2)	0,2417(2)	0	0,2471(3)	0,2471(3)	0	0,2653(3)	0,2653(3)	0
8j	(0,667Sr + 0,333Ln)(2)	0,2599(3)	0,2599(3)	0,1875(2)	0,2547(2)	0,2547(2)	0,1861(2)	0,2569(3)	0,2569(3)	0,1868(2)
8j	(0,5B <sup>III</sup> + 0,5Sn)	0,2552(3)	0,2552(3)	0,3999(4)	0,2580(3)	0,2580(3)	0,3995(3)	0,25	0,25	0,3999(3)
4g	O(1)	0,805(2)	0,195(2)	0	0,817(2)	0,183(2)	0	0,806(2)	0,194(2)	0
8j	O(2)	0,175(2)	0,175(2)	0,299(2)	0,183(2)	0,183(2)	0,292(3)	0,184(2)	0,184(2)	0,294(2)
8h	O(3)	0	0,5	0,100(2)	0	0,5	0,100(2)	0	0,5	0,095(2)
4e	O(4)	0	0	0,113(2)	0	0	0,113(2)	0	0	0,127(2)
4e	O(5)	0	0	0,389(3)	0	0	0,382(3)	0	0	0,383(3)
Просторова група		P4 <sub>2</sub> /mnm			P4 <sub>2</sub> /mnm			P4 <sub>2</sub> /mnm		
Періоди кристалічної ґратки, нм		a = 0,5790(2), c = 2,0702(8)			a = 0,5788(2), c = 2,0547(6)			a = 0,5743(2), c = 2,0394(6)		
Фактор недостовірності		R <sub>B</sub> = 0,061			R <sub>B</sub> = 0,065			R <sub>B</sub> = 0,069		
Незалежні відбиття		166			175			171		
Загальний ізотропний В-фактор, нм <sup>2</sup>		2,16(5) · 10 <sup>-2</sup>			1,55(4) · 10 <sup>-2</sup>			1,73(4) · 10 <sup>-2</sup>		

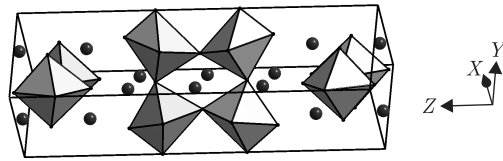


Рис. 1. Кристалічна структура  $\text{Sr}_2\text{PrScSnO}_7$  у вигляді октаедрів  $(\text{Sc},\text{Sn})\text{O}_6$  та атомів Sr й Pr (кружечки)

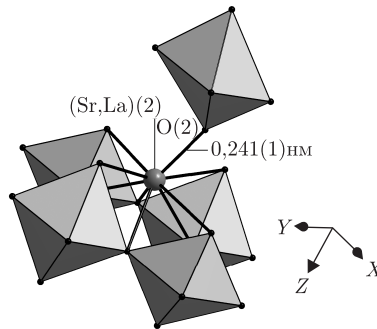


Рис. 2. Будова міжблочної границі в шаруватій перовськітоподібній структурі  $\text{Sr}_2\text{LaInSnO}_7$

при розрахунках структури складу цих сполук у межах похибки визначення відповідають експериментально заданим. При уточненні моделей структури  $\text{Sr}_2\text{NdB}^{\text{III}}\text{SnO}_7$  ( $\text{B}^{\text{III}} - \text{Sc}, \text{In}$ ) відзначалося незадовільне значення факторів недостовірності  $R_B$  (0,14 й 0,16 відповідно), що підтвердило дані рентгенофазового аналізу стосовно обриву ряду фаз  $\text{Sr}_2\text{LnB}^{\text{III}}\text{SnO}_7$  ( $\text{B}^{\text{III}} - \text{Sc}, \text{In}$ ) з ШПС при  $\text{Ln} - \text{Nd}$ .

Основними структурними одиницями ШПС  $\text{Sr}_2\text{LnB}^{\text{III}}\text{SnO}_7$  є двовимірні (нескінчені в площині  $XY$ ) перовськітоподібні блоки завтовшки в два шари, з'єднаних вершинами деформованих (довжини відстаней  $(\text{B}^{\text{III}}, \text{Sn})-\text{O}$  знаходяться в межах від 0,200(1) до 0,229(2) нм) октаедрів  $(\text{B}^{\text{III}}, \text{Sn})\text{O}_6$ . Сусідні блоки зсунуті один відносно іншого на половину ребра перовськітового куба в напрямі діагоналі площини  $XY$  і чергуються вздовж осі  $Z$  (див. рис. 1). Безпосередній зв'язок між блоками відсутній, вони "зшиті" між собою за допомогою міжблочних поліедрів  $(\text{Sr},\text{Ln})(2)\text{O}_9$  через зв'язки  $-\text{O}-(\text{Sr},\text{Ln})(2)-\text{O}-$ . З дев'яти атомів оксигену поліедра  $(\text{Sr},\text{Ln})(2)\text{O}_9$  вісім (чотири  $\text{O}(2)$  і чотири  $\text{O}(3)$  для  $\text{Sr}_2\text{LaScSnO}_7$  або чотири  $\text{O}(2)$ , два  $\text{O}(3)$ ,  $\text{O}(4)$  та  $\text{O}(5)$  для  $\text{Sr}_2\text{PrScSnO}_7$  й  $\text{Sr}_2\text{LnInSnO}_7$  ( $\text{Ln} - \text{La}, \text{Pr}$ )) належать до того самого блока, що й атоми  $(\text{Sr},\text{Ln})(2)$ , а дев'ятий атом оксигену  $\text{O}(2)$  є аксіальним атомом октаедра  $(\text{B}^{\text{III}}, \text{Sn})\text{O}_6$  сусіднього блока (див. рис. 2). Слід відзначити, що довжина цього міжблочного зв'язку (0,241(1) нм ( $\text{Sr}_2\text{LaInSnO}_7$ ), 0,225(2) нм ( $\text{Sr}_2\text{PrInSnO}_7$ ), 0,230(3) нм ( $\text{Sr}_2\text{LaScSnO}_7$ ) та 0,227(2) нм ( $\text{Sr}_2\text{PrScSnO}_7$ )) найменша з усіх зв'язків  $(\text{Sr},\text{Ln})(2)-\text{O}$  поліедра  $(\text{Sr},\text{Ln})(2)\text{O}_9$ . Атоми  $(\text{Sr},\text{Ln})(1)$  знаходяться в деформованих кубооктаедричних порожнинах між октаедрами в середині перовськітових блоків та мають координаційне число 12. Розподіл атомів Sr й Ln в обох поліедрах  $(\text{Sr},\text{Ln})(2)\text{O}_9$  та  $(\text{Sr},\text{Ln})(1)\text{O}_{12}$  має статистичний характер.

Аналіз ступенів деформації ( $\Delta$ ) поліедрів  $\text{MeO}_n$  у ШПС  $\text{Sr}_2\text{LnB}^{\text{III}}\text{SnO}_7$  ( $\text{Ln} - \text{La}, \text{Pr}; \text{B}^{\text{III}} - \text{Sc}, \text{In}$ ) показав, що величини  $\Delta$  залежать від типу кристалічної ґратки (табл. 3). Вони максимальні у випадку тетрагональних (пр. гр.  $\text{P}4_2/\text{mnm}$ ) ґраток  $\text{Sr}_2\text{PrScSnO}_7$  й  $\text{Sr}_2\text{LnInSnO}_7$  ( $\text{Ln} - \text{La}, \text{Pr}$ ), а пониження симетрії ґратки до орторомбічної (пр. гр.  $\text{Fm}\overline{3}\text{m}$ ) призводить до істотного зменшення  $\Delta$  поліедрів  $\text{MeO}_n$  у ШПС  $\text{Sr}_2\text{LaScSnO}_7$ .

Таблиця 3. Середні міжатомні відстані і ступені деформації поліедрів  $\text{MeO}_n$  ( $\Delta$ ) в кристалічній структурі  $\text{Sr}_2\text{LnB}^{\text{III}}\text{SnO}_7$

Поліедр						
Ln	$(\text{Sc},\text{Sn})\text{O}_6$		$(\text{Sr},\text{Ln})(2)\text{O}_9$		$(\text{Sr},\text{Ln})(1)\text{O}_{12}$	
	$\text{Sr}_2\text{LnScSnO}_7$					
	Середня відстань, нм $(\text{Sc},\text{Sn})\text{—O}$	$\Delta \cdot 10^4$	Середня відстань, нм $(\text{Sr}, \text{Ln})(2)\text{—O}$	$\Delta \cdot 10^4$	Середня відстань, нм $(\text{Sr}, \text{Ln})(1)\text{—O}$	$\Delta \cdot 10^4$
La	0,2053	2	0,2704	53	0,2962	3
Pr	0,2090	11	0,2702	184	0,2973	63
Ln	$(\text{In},\text{Sn})\text{O}_6$		$(\text{Sr},\text{Ln})(2)\text{O}_9$		$(\text{Sr},\text{Ln})(1)\text{O}_{12}$	
	$\text{Sr}_2\text{LnInSnO}_7$					
	Середня відстань, нм $(\text{In},\text{Sn})\text{—O}$	$\Delta \cdot 10^4$	Середня відстань, нм $(\text{Sr}, \text{Ln})(2)\text{—O}$	$\Delta \cdot 10^4$	Середня відстань, нм $(\text{Sr}, \text{Ln})(1)\text{—O}$	$\Delta \cdot 10^4$
La	0,2087	7	0,2754	184	0,2968	59
Pr	0,2108	29	0,2723	179	0,2985	74

Примітка. Розрахунок ступеня деформації поліедрів  $\text{MeO}_n$  у кристалічній структурі  $\text{Sr}_2\text{LnB}^{\text{III}}\text{SnO}_7$  проведено за формулою:  $\Delta = 1/n \sum [(R_i - \bar{R})/\bar{R}]^2$  ( $R_i$  — відстані  $\text{Me—O}$ ,  $\bar{R}$  — середня відстань  $\text{Me—O}$ ,  $n$  — координаційне число) [11].

Значно більша ступінь деформації зовнішньоблочних поліедрів  $(\text{Sr},\text{Ln})(2)\text{O}_9$ , ніж у внутрішньоблочних кубооктаедрів  $(\text{Sr},\text{Ln})(1)\text{O}_{12}$  (див. табл. 3), викликана їх участю у “зшивці” сусідніх перовскітоподібних блоків між собою. Цей самий фактор обумовлює зсув атомів  $(\text{Sr},\text{Ln})(2)$  майже до границі перовскітоподібного блока (див. рис. 1).

Слід також відзначити, що зменшення розміру атома РЗЕ в тетрагональній ШПС індатостанатів  $\text{Sr}_2\text{LnB}^{\text{III}}\text{TiO}_7$  (Ln — La, Pr) супроводжується досить істотними ( $\sim$  в 3 рази) збільшенням ступеня деформації октаедрів  $(\text{In},\text{Sn})\text{O}_6$ , в той час як величини  $\Delta(\text{Sr},\text{Ln})(1)\text{O}_{12}$  й  $\Delta(\text{Sr},\text{Ln})(2)\text{O}_9$  практично незмінні (див. табл. 3).

Зіставлення протяжності рядів титановмісних сполук  $\text{Sr}_2\text{LnB}^{\text{III}}\text{TiO}_7$  (Ln — La, Sm;  $\text{B}^{\text{III}}$  — Sc, In) [4, 12] та олововмісних сполук  $\text{Sr}_2\text{LnB}^{\text{III}}\text{SnO}_7$  (Ln — La, Pr;  $\text{B}^{\text{III}}$  — Sc, In) свідчить про значно меншу стабільність ШПС останніх. Вірогідною причиною цього є, очевидно, відмінності кристалохімічної поведінки атомів титану та олова. Так, якщо титан є одним із найбільш типових атомів В-позиції сполук із ШПС різних сімейств [1, 2], то входження атомів олова у В-позицію ШПС нехарактерно і кількість відомих олововмісних сполук із ШПС дуже обмежена.

Таким чином, у даній роботі встановлено область існування скандатостанатів та індатостанатів  $\text{Sr}_2\text{LnB}^{\text{III}}\text{SnO}_7$ , синтезовано нові сполуки  $\text{Sr}_2\text{LnB}^{\text{III}}\text{SnO}_7$  (Ln — La, Pr;  $\text{B}^{\text{III}}$  — Sc, In), проведено визначення їх ШПС та проаналізовано особливості їх будови.

1. *Schaak R. E., Mallouk T. E.* Perovskites by design: a toolbox of solid-state reactions // *Chem. Mater.* — 2002. — **14**, No 4. — P. 1455–1471.
2. *Александров К. С., Безносиков Б. В.* Перовскиты. Настоящее и будущее. — Новосибирск: Изд-во СО РАН, 2004. — 231 с.
3. *Li Z., Li G., Sun J. et al.* Structural and magnetic properties of Ruddlesden-Popper compounds in a double-perovskite family  $\text{Sr}_n(\text{Fe}, \text{Ta})_n\text{O}_{3n}(\text{SrO})$  // *Solid State Sci.* — 2006. — **8**, No 9. — P. 1035–1040.
4. *Титов Ю. О., Білявина Н. М., Марків В. Я., Слободяник М. С., Полубінський В. В.* Синтез та кристалічна структура двошарових індоитанатів  $\text{Sr}_2\text{LnInTiO}_7$  // *Доп. НАН України.* — 2014. — № 6. — С. 120–125.
5. *Sher F., Williams A. J., Venimadhev A. et al.* Synthesis, structure, and properties of two new Ruddlesden-Popper phase analogues of SFMO ( $\text{Sr}_2\text{FeMoO}_6$ ) // *Chem. Mater.* — 2005. — **17**, No 7. — P. 1792–1796.

6. *Cava R. J., Takagi H., Zandbergen H. W.* Synthesis and characterization of  $\text{Ba}_3(\text{Pb}_{1-x}\text{Bi}_x)_2\text{O}_7$  // *Phys. Rev. B.* – 1992. – **46**, No 21. – P. 14101–14104.
7. *Титов Ю. О., Слободяник М. С., Краєвська Я. А.* Особливості утворення і ізоморфізм сполук Рудлессдена–Попера типу  $\text{Sr}_{n+1}\text{V}_n\text{O}_{3n+1}$  ( $\text{V} = \text{Sn}, \text{Ti}, n = 1, 2$ ) // *Укр. хим. журн.* – 2008. – **74**, № 7. – С. 17–22.
8. *Титов Ю. О., Білявіна Н. М., Марків В. Я., Слободяник М. С., Краєвська Я. А., Чумак В. В.* Синтез та кристалічна структура шаруватих скандатів  $\text{SrLn}_2\text{Sc}_2\text{O}_7$  // *Доп. НАН України.* – 2009. – № 3. – С. 155–161.
9. *Марків В. Я., Білявіна Н. М.* Апаратно-програмний комплекс для дослідження полікристалічних речовин за їх дифракційними спектрами // *Тез. доп. Другої міжнар. конф. “КФМ-97”, 14–16 жовт. 1997 р.* – Львів: Вид-во наук. тов-ва ім. Т. Г. Шевченка, 1997. – С. 260–261.
10. *Caldes M., Michel C., Rouillon T. et al.* Novel indates  $\text{Ln}_2\text{BaIn}_2\text{O}_7$ ,  $n = 2$  members of Ruddlesden–Popper family ( $\text{Ln} = \text{La}, \text{Nd}$ ) // *J. Mater. Chem.* – 2002. – **12**, No 3. – P. 473–476.
11. *Shannon R. D.* Revised effective ionic radii and systematic studies of interatomic distances in halides and halogenides // *Acta Crystallogr.* – 1976. – **A32**, No 5. – P. 751–767.
12. *Полубінський В. В., Титов Ю. О., Білявіна Н. М., Марків В. Я.* Синтез та кристалічна структура скандатогитанатів  $\text{Sr}_2\text{LnScTiO}_7$  // *Тез. доп. XIX Укр. конф. з неорган. хімії, 7–11 вер. 2014 р.* – Одеса: Б. в., 2014. – С. 169.

Київський національний університет  
ім. Тараса Шевченка

Надійшло до редакції 17.09.2014

**Ю. А. Титов, Н. Н. Белявіна, В. Я. Марків,**  
член-корреспондент НАН України **Н. С. Слободяник, В. В. Полубинский**

### **Новые соединения $\text{Sr}_2\text{LnB}^{\text{III}}\text{SnO}_7$ ( $\text{B}^{\text{III}} = \text{Sc}, \text{In}$ ) с двухслойной перовскитоподобной структурой**

*Определены границы областей со слоистой перовскитоподобной структурой (СПС) в рядах соединений типа  $\text{Sr}_2\text{LnB}^{\text{III}}\text{SnO}_7$  ( $\text{B}^{\text{III}} = \text{Sc}, \text{In}$ ). Твердофазным синтезом из эквимольных смесей  $\text{Sr}_3\text{Sn}_2\text{O}_7 + \text{SrLn}_2\text{Sc}_2\text{O}_7$  и  $\text{Sr}_2\text{SnO}_4 + \text{LnInO}_3$  синтезированы новые скандатостаннаты  $\text{Sr}_2\text{LnScSnO}_7$  ( $\text{Ln} = \text{La}, \text{Pr}$ ), индатостаннаты  $\text{Sr}_2\text{LaInSnO}_7$  ( $\text{Ln} = \text{La}, \text{Pr}$ ) и методом Ритвельда определена их кристаллическая СПС. Установлена принадлежность СПС  $\text{Sr}_2\text{LaScSnO}_7$  к структурному типу  $\text{SrLn}_2\text{Sc}_2\text{O}_7$  (пр. гр.  $Fm\bar{m}m$ ), а СПС  $\text{Sr}_2\text{PrScSnO}_7$  и  $\text{Sr}_2\text{LnInSnO}_7$  к структурному типу  $\text{BaLa}_2\text{In}_2\text{O}_7$  (пр. гр.  $P4_2/mnm$ ). Проанализированы особенности строения СПС синтезированных  $\text{Sr}_2\text{LnB}^{\text{III}}\text{SnO}_7$  ( $\text{B}^{\text{III}} = \text{Sc}, \text{In}$ ).*

**Yu. A. Titov, N. M. Belyavina, V. Ya. Markiv,**  
Corresponding Member of the NAS of Ukraine **M. S. Slobodyanik, V. V. Polubinskii**

### **New compounds $\text{Sr}_2\text{LnB}^{\text{III}}\text{SnO}_7$ ( $\text{B}^{\text{III}} = \text{Sc}, \text{In}$ ) with two-layer perovskite-like structure**

*The boundaries of regions with layered perovskite-like structure (LPS) in the rows of compounds  $\text{Sr}_2\text{LnB}^{\text{III}}\text{SnO}_7$ -type ( $\text{B}^{\text{III}} = \text{Sc}, \text{In}$ ) are determined. The new scandatostannates  $\text{Sr}_2\text{LnScSnO}_7$  ( $\text{Ln} = \text{La}, \text{Pr}$ ) and indatostannates  $\text{Sr}_2\text{LaInSnO}_7$  ( $\text{Ln} = \text{La}, \text{Pr}$ ) have been synthesized by the solid-phase sintering from equimolar mixtures  $\text{Sr}_3\text{Sn}_2\text{O}_7 + \text{SrLn}_2\text{Sc}_2\text{O}_7$  and  $\text{Sr}_2\text{SnO}_4 + \text{LnInO}_3$ , and their crystal LPSs are determined by the Rietveld method. It is found that the LPS of  $\text{Sr}_2\text{LaScSnO}_7$  belongs to the  $\text{SrLn}_2\text{Sc}_2\text{O}_7$ -type structure (sp. gr.  $Fm\bar{m}m$ ), and the LPSs of  $\text{Sr}_2\text{PrScSnO}_7$  and  $\text{Sr}_2\text{LnInSnO}_7$  belong to the  $\text{BaLa}_2\text{In}_2\text{O}_7$ -type structure (sp. gr.  $P4_2/mnm$ ). The peculiarities of LPSs of  $\text{Sr}_2\text{LnB}^{\text{III}}\text{SnO}_7$  ( $\text{B}^{\text{III}} = \text{Sc}, \text{In}$ ) are analyzed.*